

6. Pulsacion estelar

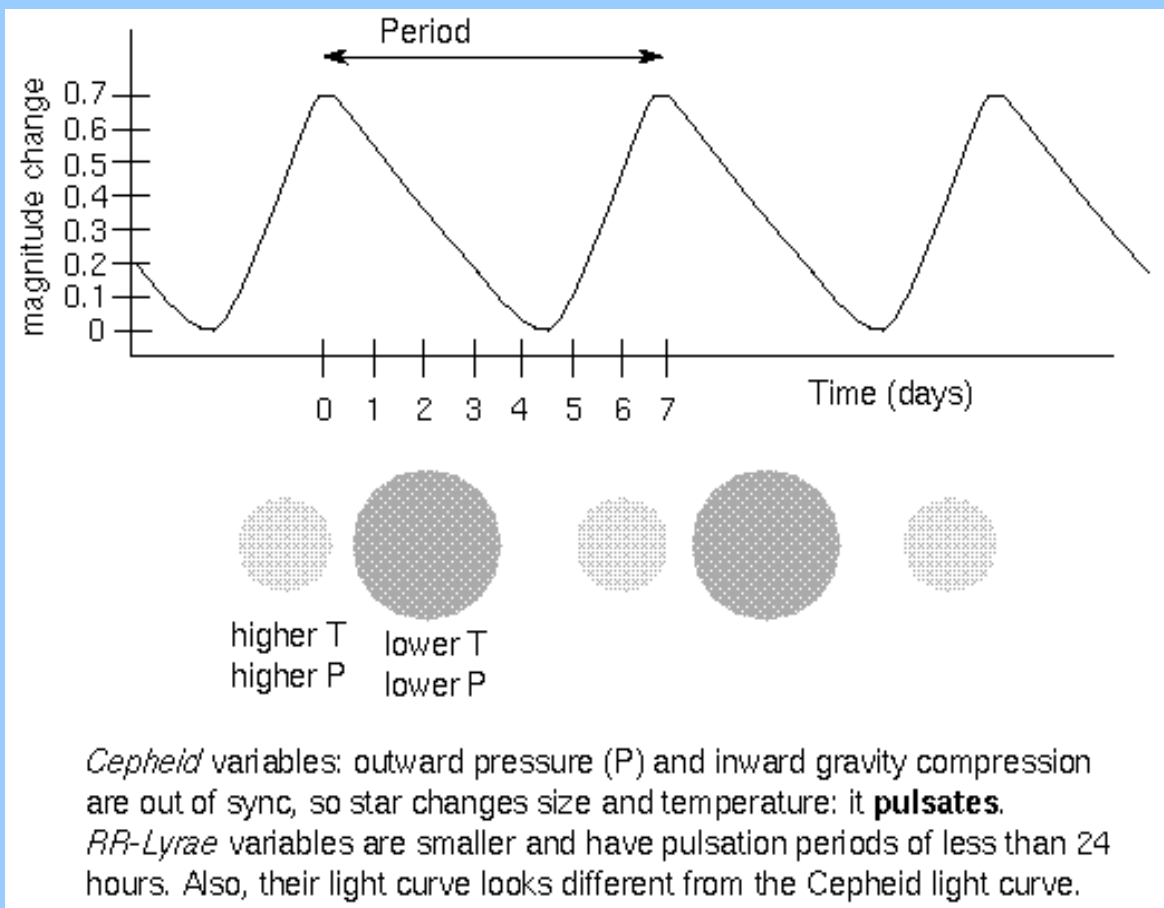
6.1 Tipologia

1595: David Fabricius descubrio omicron Ceti como estrella variable

1795: John Goodrick descubrio δ Cephei

periodo muy constante: 5.3666 dias

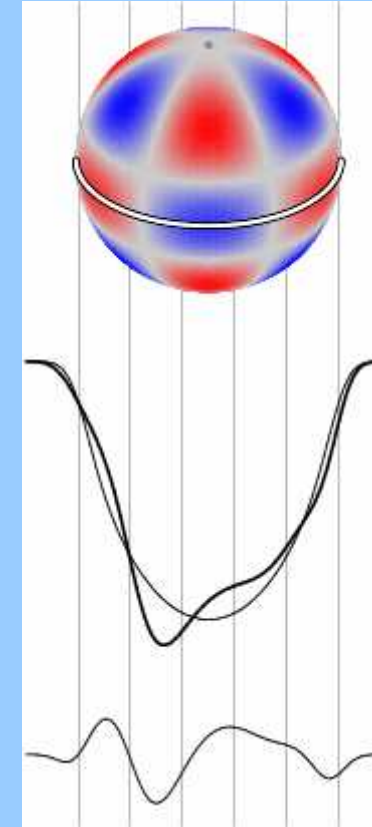
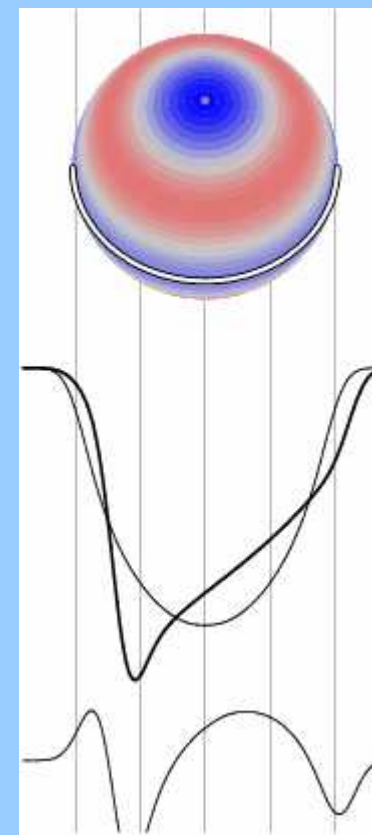
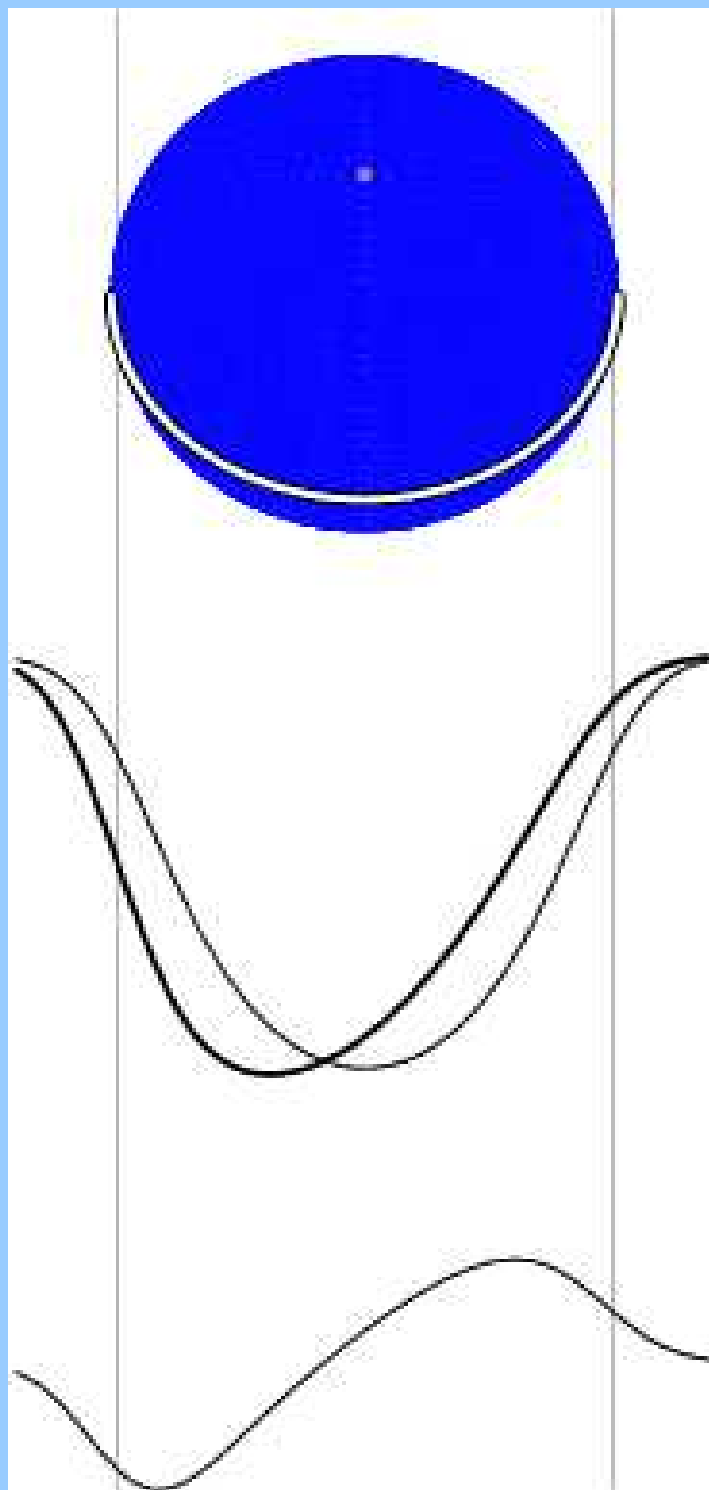
mas estrellas variables de este tipo = Cefeidas

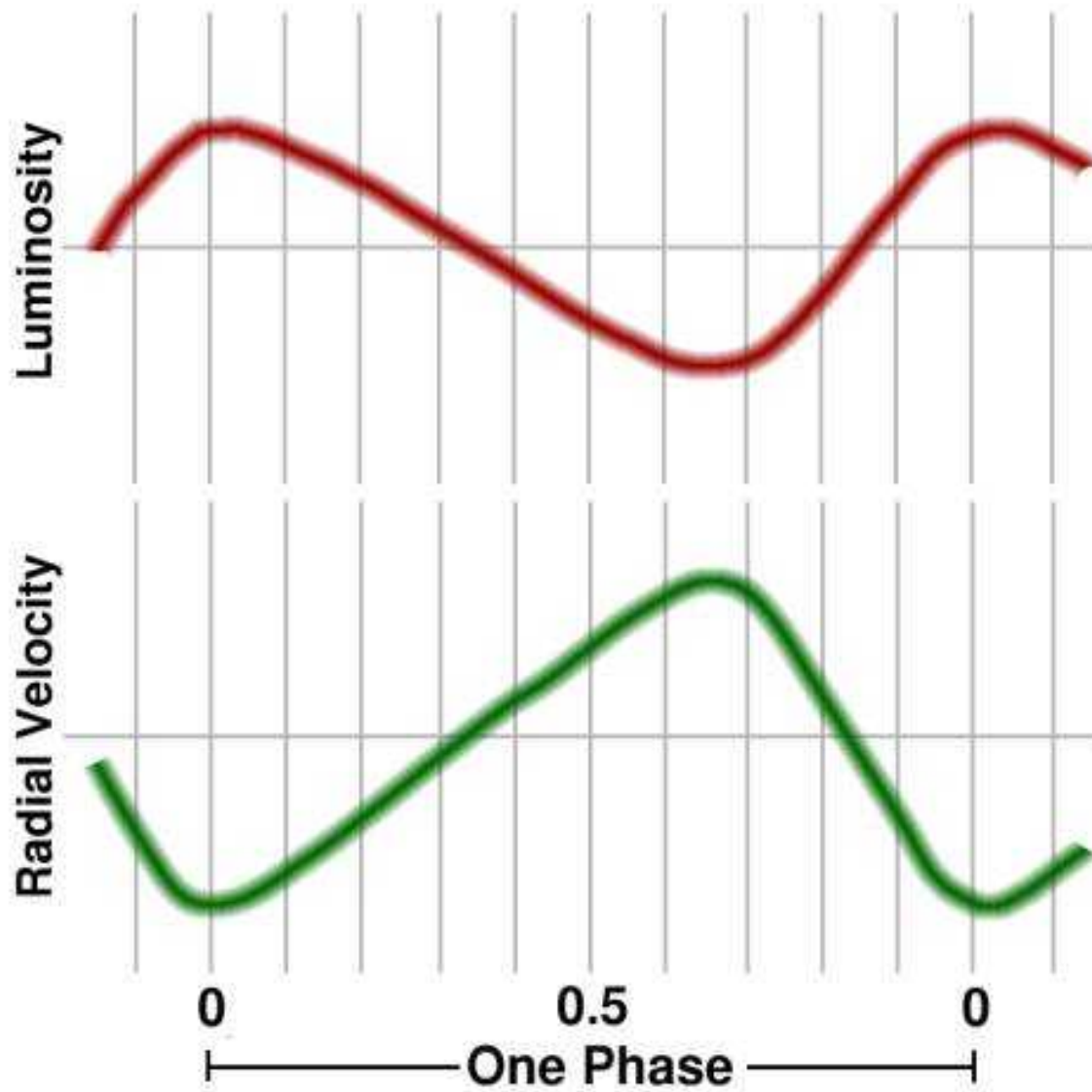
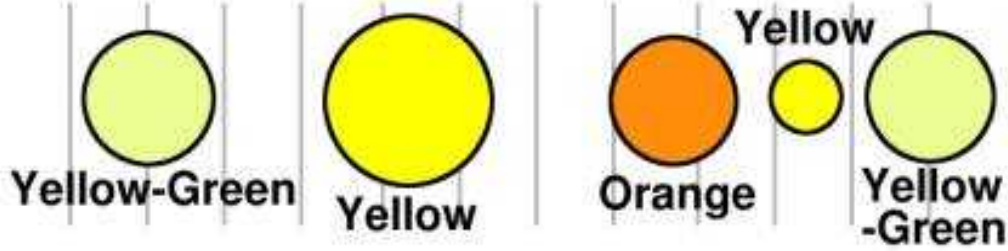


estrellas pulsandas

maximo no coincide
con maximo radio

--> variabilidad depende mas
de temperatura que del radio





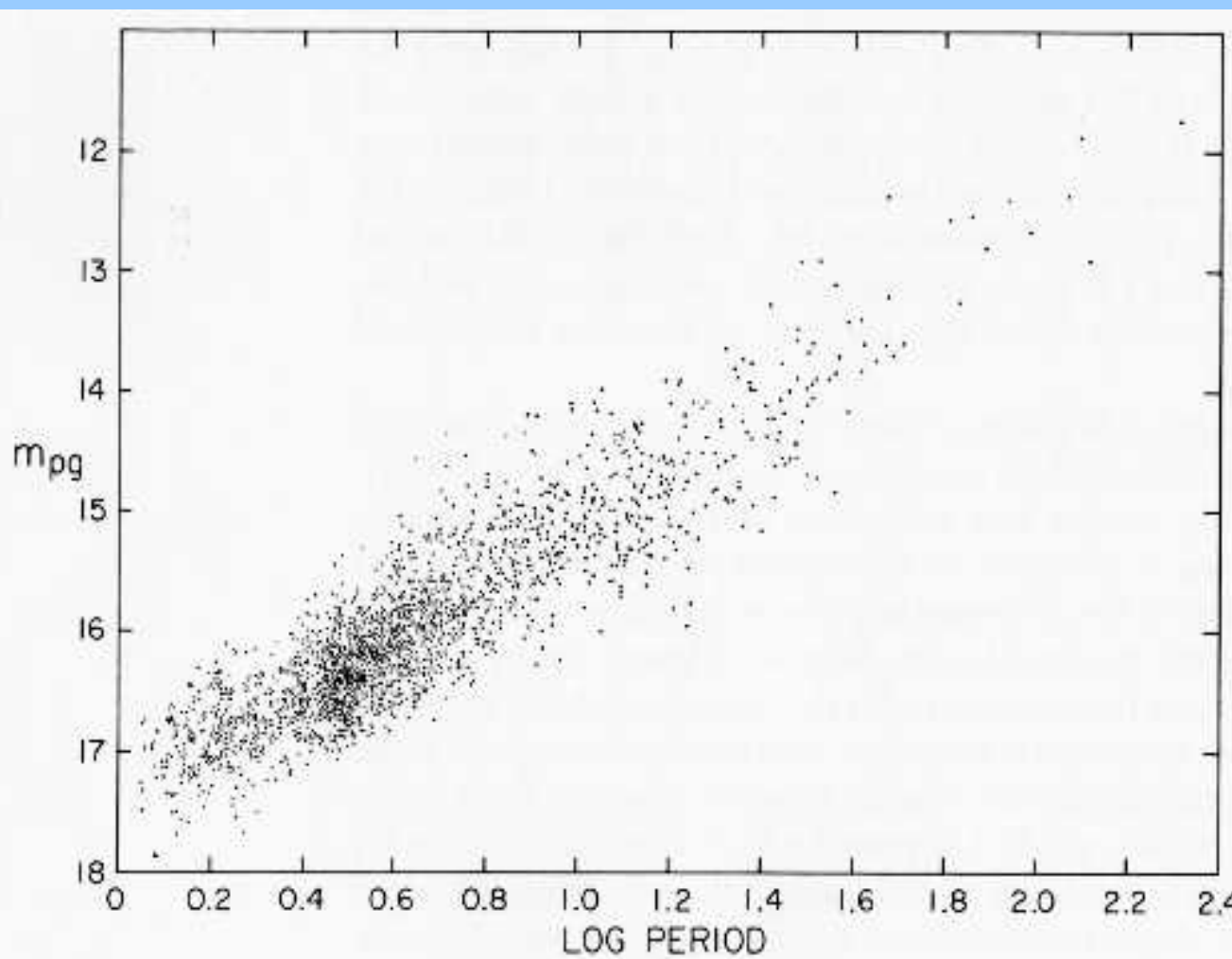
color

luminosidad

$$L \sim R^2 T_{eff}^4$$

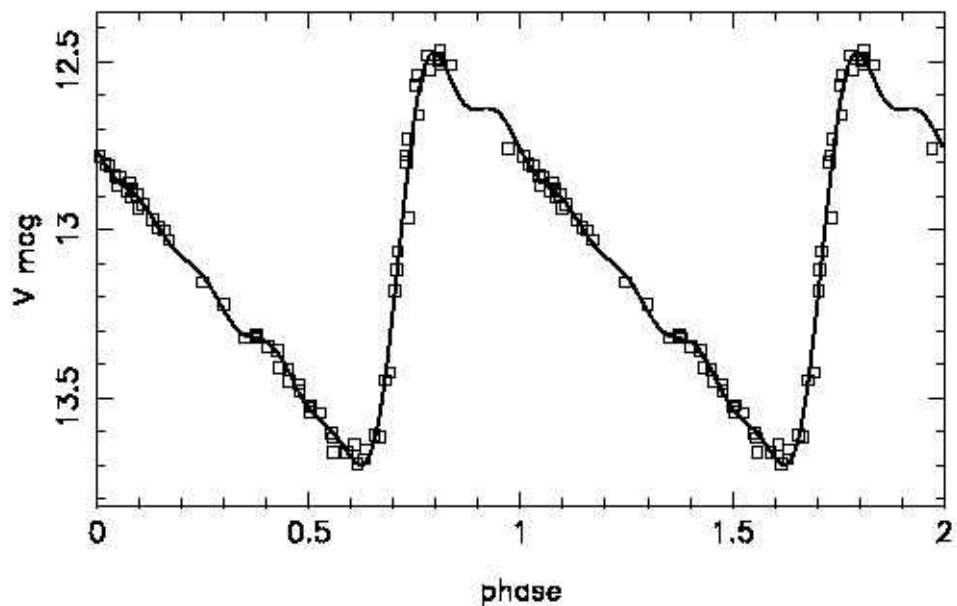
velocidad radial de
la superficie

Henrietta Leavitt (1918): descubrimiento de Cefeidas en la nube pequeña de Magellan --> relacion entre magnitud aparente y periodo
misma distancia --> relacion entre periodo y luminosidad
= relacion P-L

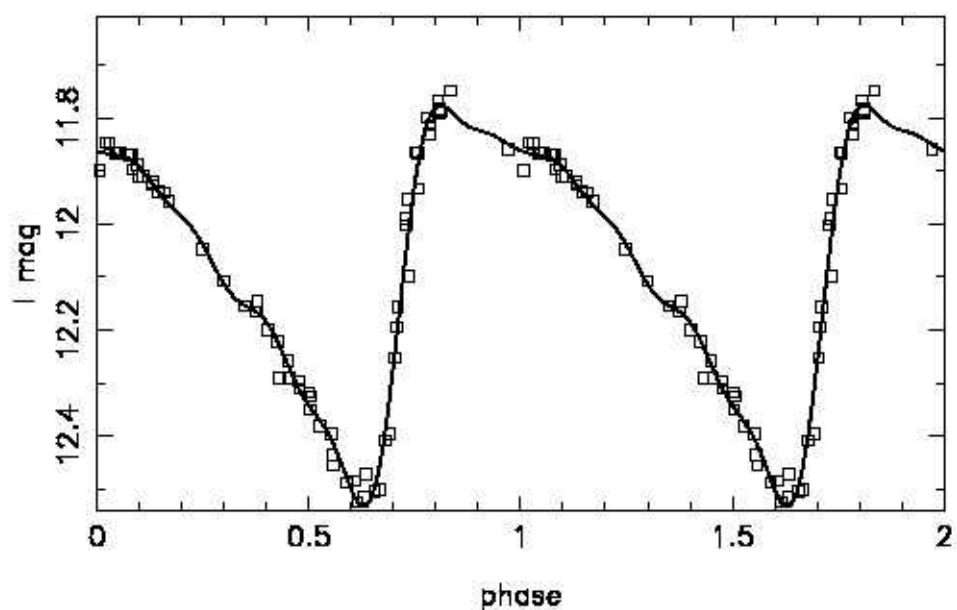


indicadores
de distancia !!

HV2257_ : P = 39.3700days, N(obs) = 66



HV2257_ : P = 39.3700days, N(obs) = 66



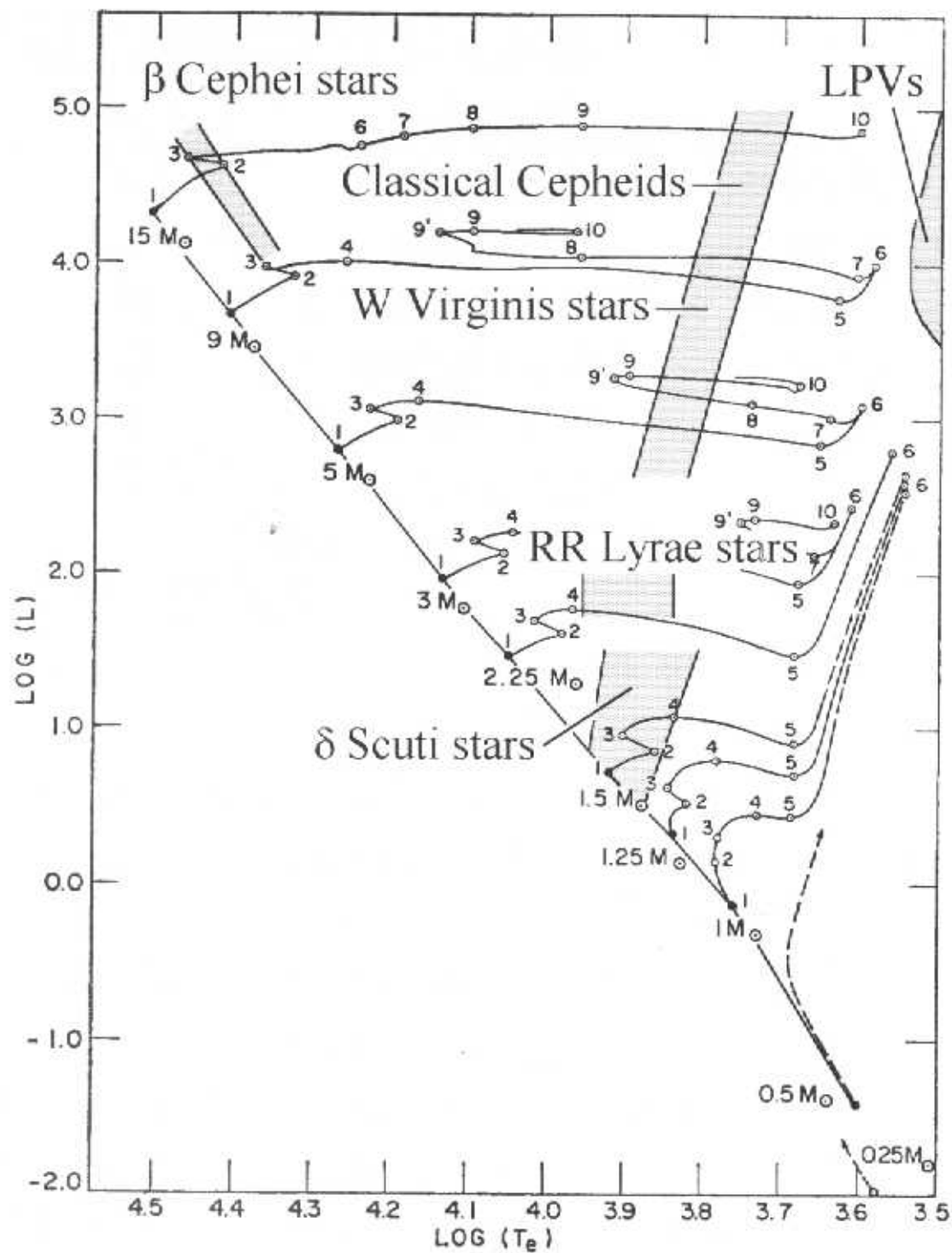
curvas de luz tipicas

amplitudes 0.3 – 1 mag

calibracion moderna:

$$M_V = -2.8 \log P - 1.43$$

indicadores de distancias brillantes



mas tipos de estrellas pulsandas
casi todos estan en el diagrama
H-R en una "franja"
franja de inestabilidad

Zoología de las estrellas variables pulsando:

Cefeidas clásicas: masas aprox. 4-8 masas solares

---> joven ---> población I (disco Galáctico)

estrellas W-Virginis: mas viejos, menos brillantes

algunos en cúmulos globulares

---> población II

estrellas RR-Lyrae: viejos, población II

muchos en algunos (!) cúmulos globulares

amplitud pequeñas (0.5 mag)

estrellas delta-Scuti: población intermedia, cerca de la secuencia

principal, amplitudes muy pequeñas (0.1 mag)

franja de inestabilidad:

solo en una franja en el diagrama HR hayan condiciones de inestabilidad para pulsaciones

---> **una estrella empieza pulsar, cuando su trayectoria de evolucion cruza la franja de inestabilidad**

---> puede pasar en epochas evolucionarias diferentes

---> masas, estructuras, edades, metalicidades diferentes

---> tipologia (periodos, amplitudes, tipo de oscilacion) diferentes

tarea: entender la fisica de pulsacion

6.2 La fisica de pulsacion

pulsacion = cambio de presion propaga a traves la estrella
solo las cascaras exteriores!!

velocidad = velocidad del sonido

$$v_{sonido} = \sqrt{\frac{\gamma P}{\rho}} \quad \gamma = c_p/c_v$$

equilibrio hidrostatico (densidad constante):

$$P(r) = \frac{2}{3} \pi G \rho^2 (R^2 - r^2)$$

consideramos el periodo como el tiempo que necesita una onda acustica para atravesar 2 veces el radio

$$\Pi = 2 \int_0^R \frac{1}{v_s} dr = \sqrt{\frac{3\pi}{2\gamma G \rho}}$$

relacion periodo-densidad

como mas grande la densidad (promedia)

--> tanto mas pequeña la luminosidad

---> relacion P-L teoricamente

--> relacion luminosidad-densidad

Por que hay franjas de inestabilidad?

Por que hay oscilaciones?

oscilacion: cambio del volumen

(por los menos en las capas oscilandas)

---> trabajo diferencial que ejerce una capa: $P dV$

trabajo total sobre un periodo $\oint P dV$

$\oint P \, dV > 0$: capa deposita trabajo \rightarrow oscilacion excitada

$\oint P \, dV < 0$: capa necesita trabajo \rightarrow oscilacion amortiguada

---> presion externa mas grande durante la fase de compresion mas grande (dibujo..)

presion externa : por absorcion de radiacion
opacidad alta ---> absorcion alta
opacidad baja ---> absorcion baja

---> opacidad debe ser alta durante la fase de compresion maxima

normalmente no funciona!

opacidad de Kramers:

$$\kappa \sim \frac{\rho}{T^{3.5}}$$

compresion aumenta \rightarrow T aumenta

caso adiabatico $\rightarrow \kappa \sim T^{-2.5}$: opacidad baja!

razon: iones estan en estados mas excitados

\rightarrow menos posibilidades para transiciones ligados- libre

donde se puede crecer κ con T?

\rightarrow en zonas de ionisacion parcial!

cascara con aprox. 10 000 K: H ionizado parcialmente
HeI ionizado parcialmente

mas profundo: zona de HeII

compresion de zona de ionisacion parcial:

energia usado para ionisacion completa

--> T no aumenta

en zonas de ionisacion parciales: $\kappa \sim \rho$

--> absorbe energia durante la compresion

--> libera energia durante la decompresion

--> oscilaciones !

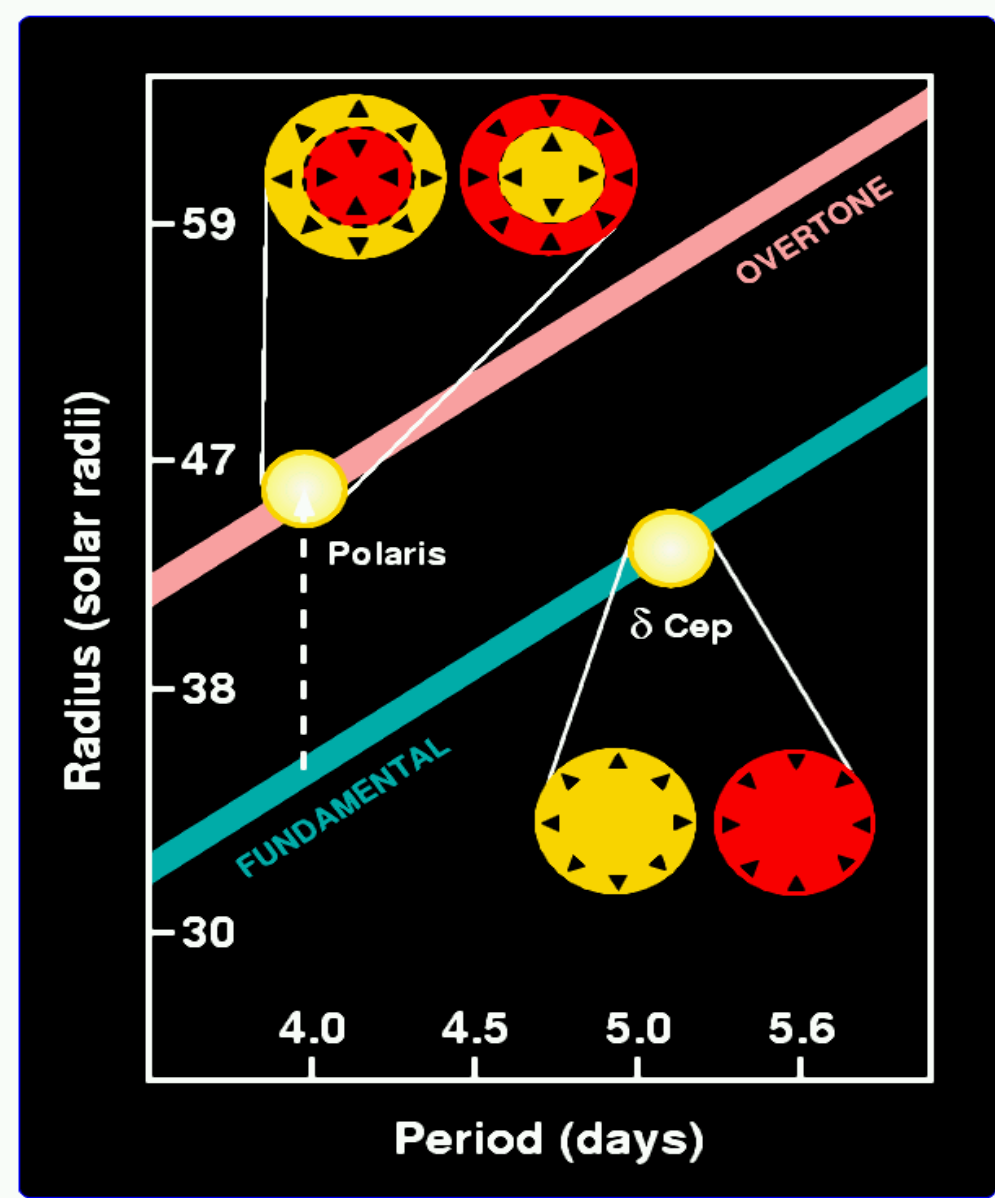
mecanismo κ

ubicacion de las zonas de ionisacion HI/HeI y HeII determinan propriedades de oscilacion

Si:

1. zona HI/HeI cerca de superficie
 - > densidad demasiado baja
 - > ninguna oscilacion
 - > pasa si la estrella esta demasiado caliente,
 $T_{\text{eff}} \sim 7500\text{K}$
 2. zona HI/HeI profunda
 - > demasiado masa para excitar oscilaciones
 - estrella esta demasiado fria, $T_{\text{eff}} \sim 5500\text{K}$
- > "franja" en el diagrama HR con oscilaciones

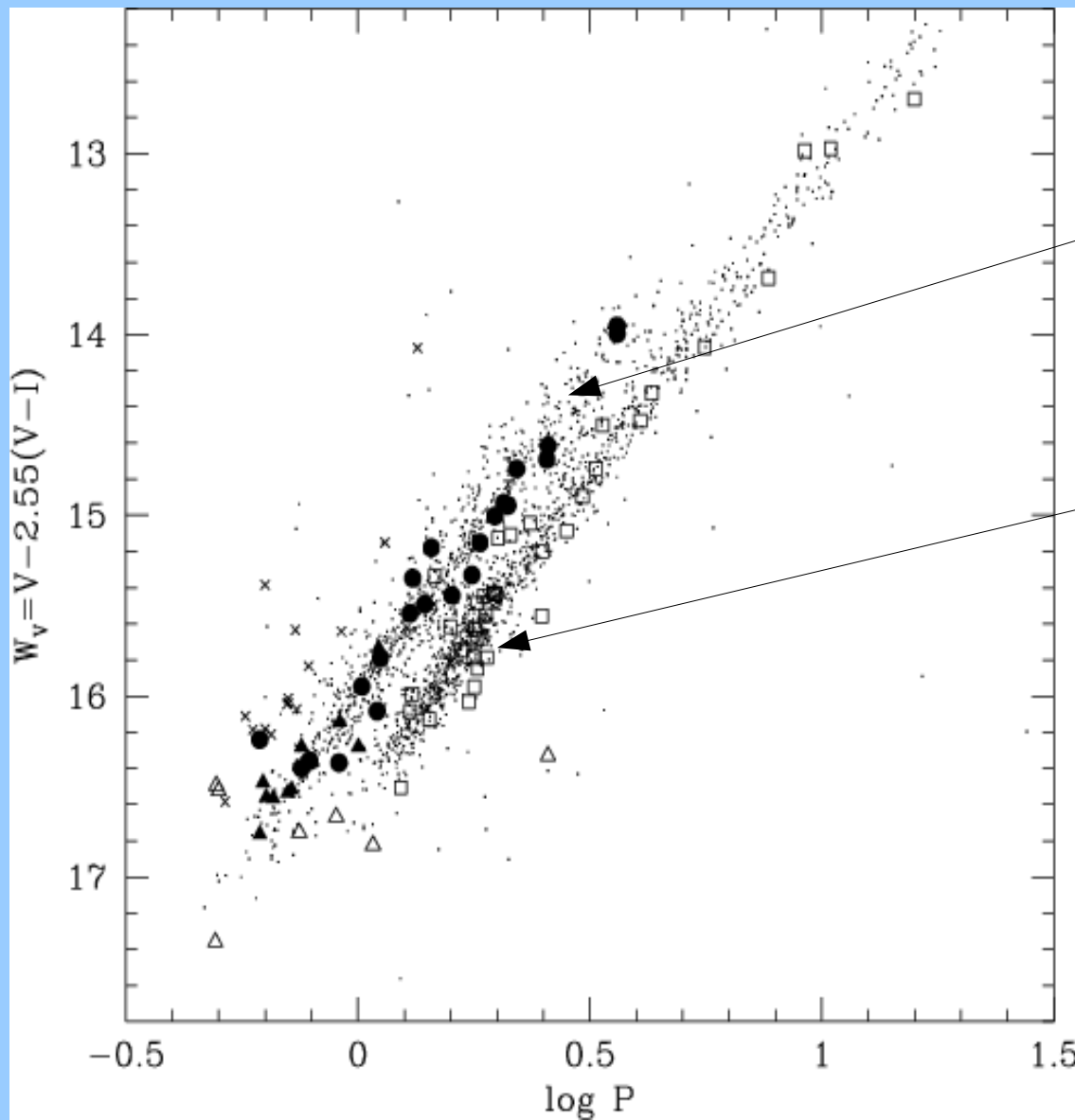
6.3 Sobretonos, pulsaciones radiales y non-radiales



cada sistema (oscilando)
oscila en sobretonos,
estrellas tambien

---> espectro de oscilaciones

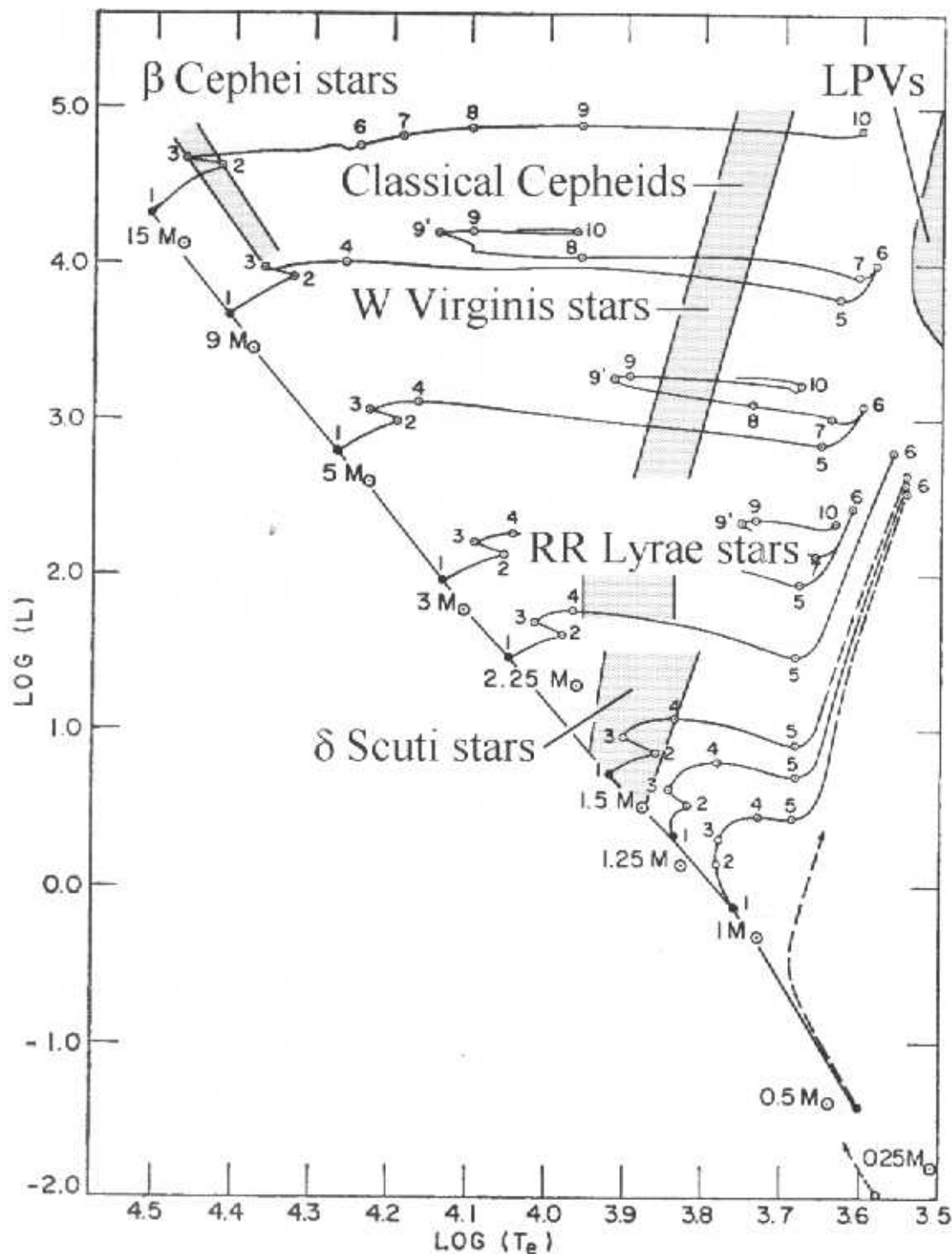
Cefeidas en la nube pequeña de Magellan - oscilaciones en modos diferentes



primer sobretono

oscilacion fundamental

Antonello et al. 2002, A&A, 385,
793



Cefeidas pueden cruzar la franja de inestabilidad

trayectoria para 5 masas solares: 3 veces !

---> cambio del periodo

T alta ---> T baja:
periodo se vuelve mas largo

T alta --> T baja
periodo se vuelve mas corto

GY Sagittae: 200 s/año mas largo

Cefeidas

RR-Lyrae



Pulsaciones radiales

= ondas propagan radialmente

pulsaciones non-radiales = ondas propagan a lo largo de la superficie

estrellas delta-Scuti

estrellas beta-Cephei

Sol

amplitudes pequeñas, periodos cortos

---> "astrosismología"

mapas de velocidades en pulsaciones non-radiales

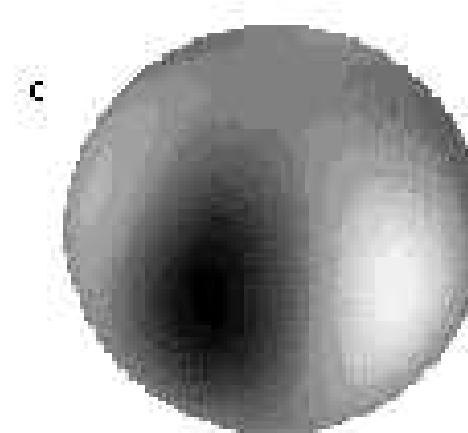
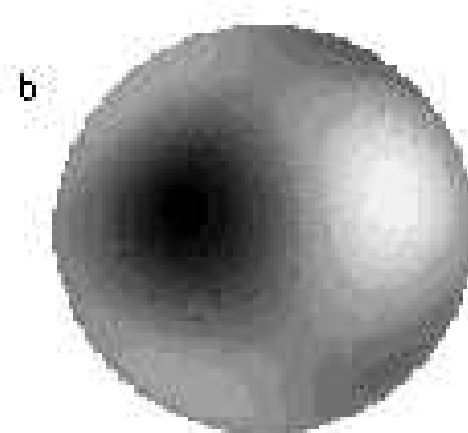
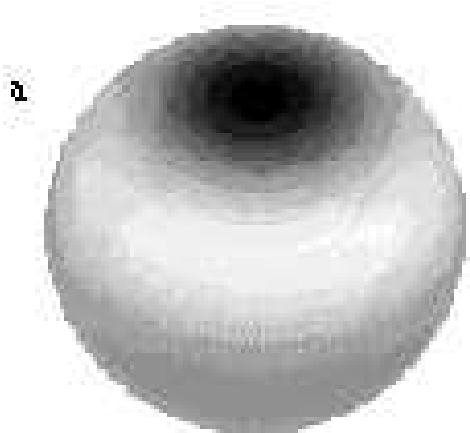
oscuro: region alejando

brillante: region acercando

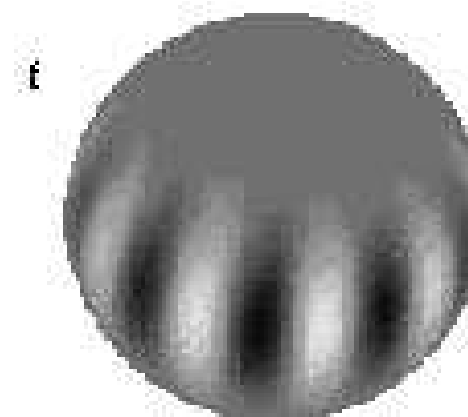
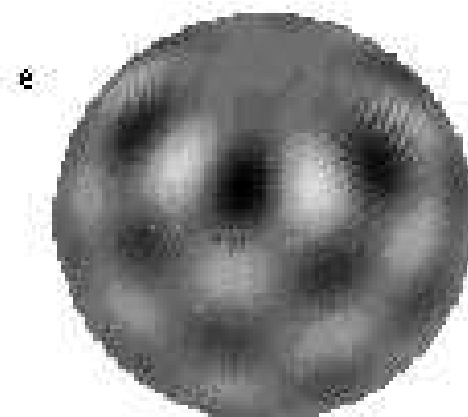
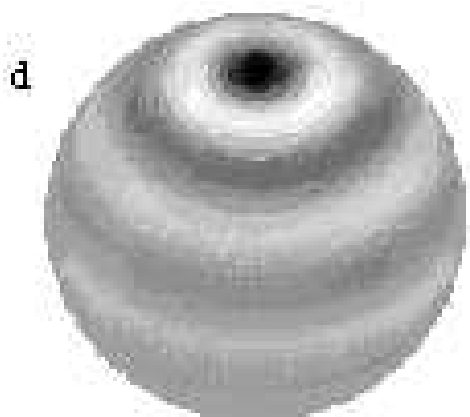
descripcion de los modos por parametros de harmonicos esfericos

numero de nudos en la direccion latitudinal $l-m$

en la direccion longitudinal $2*|m|$



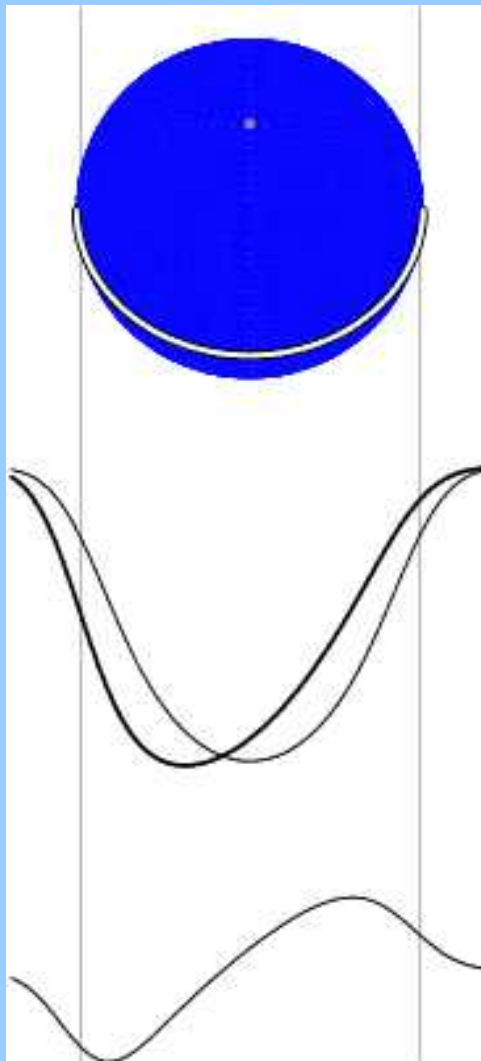
a: $l=3, m=0$



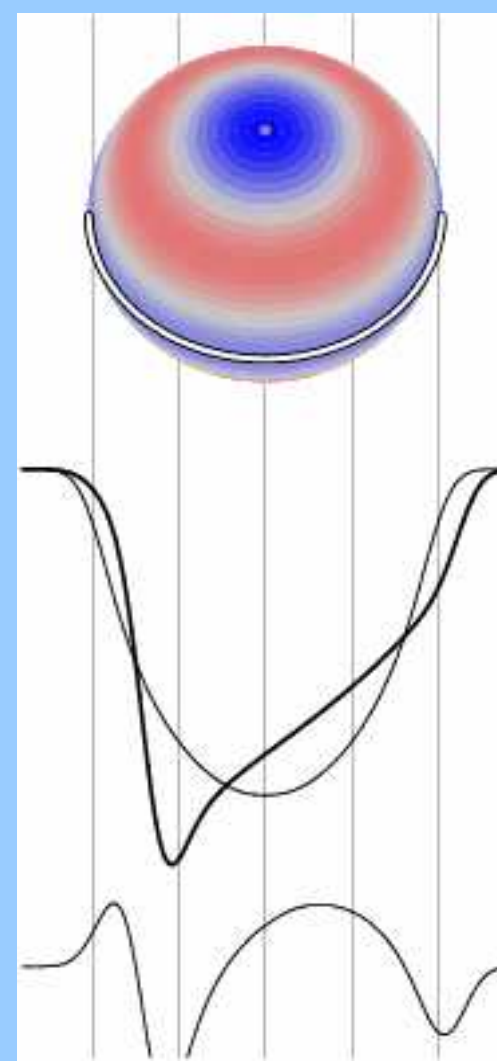
d: $l=10, m=0$

f: $l=10, m=10$

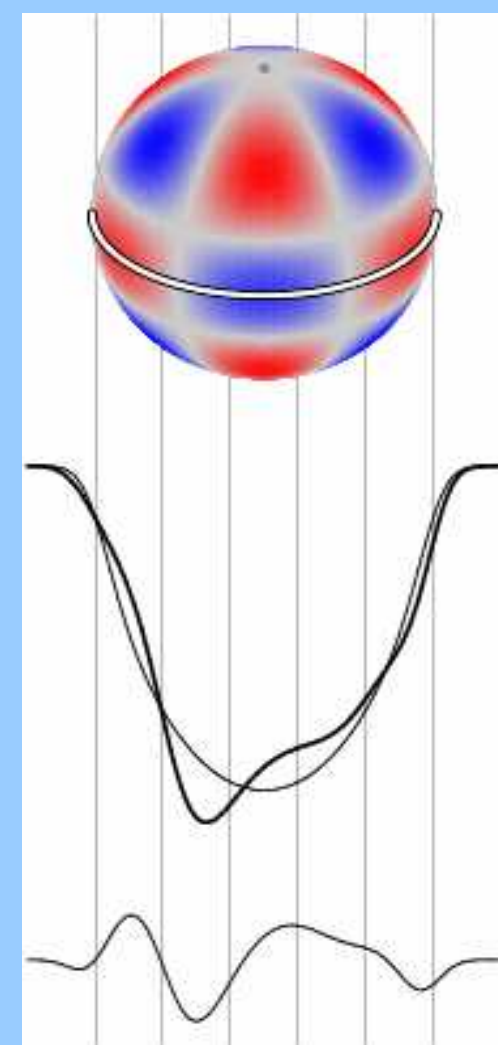
$l=0$
 $m=0$



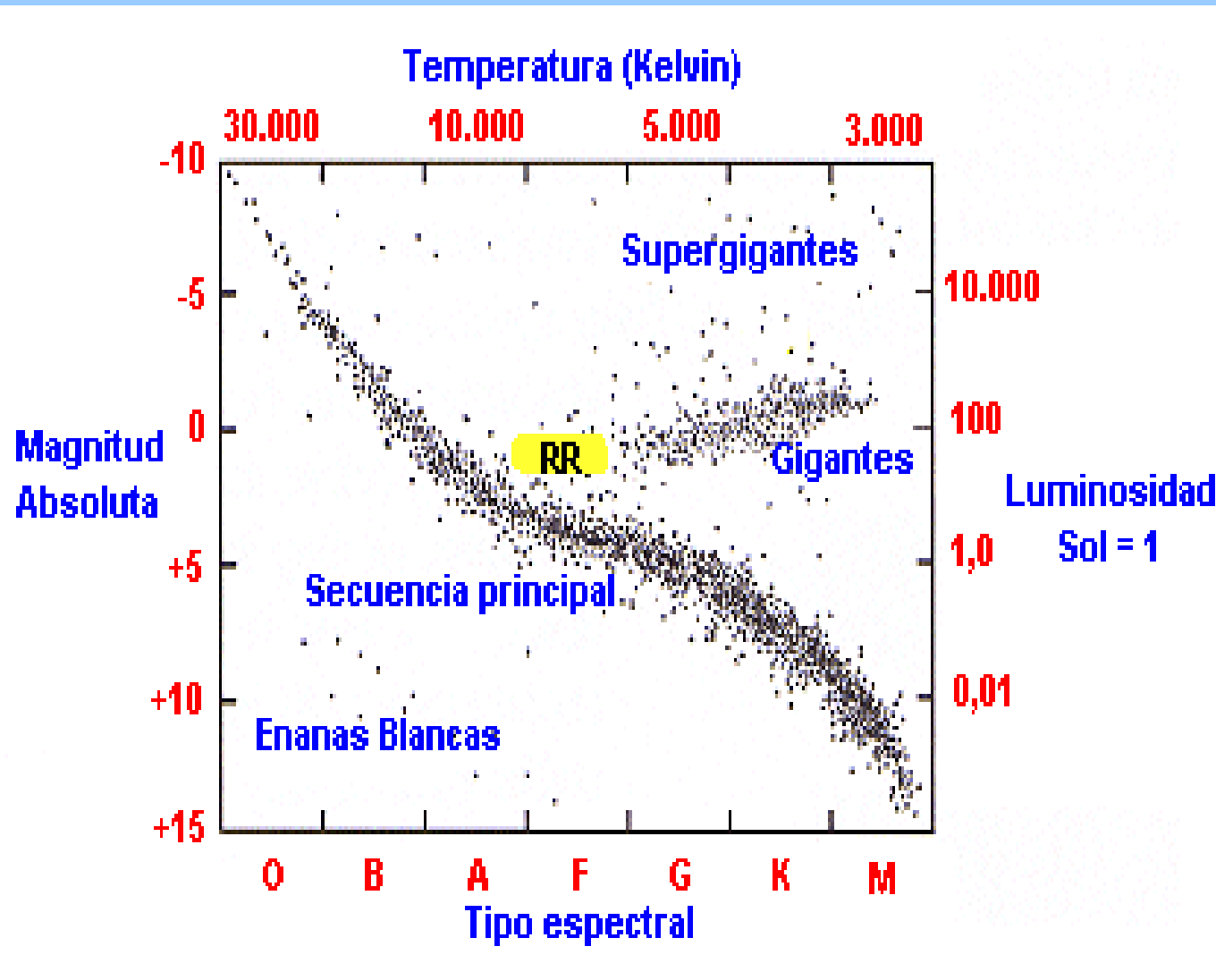
$l=4$
 $m=0$



$l=5$
 $m=-3$



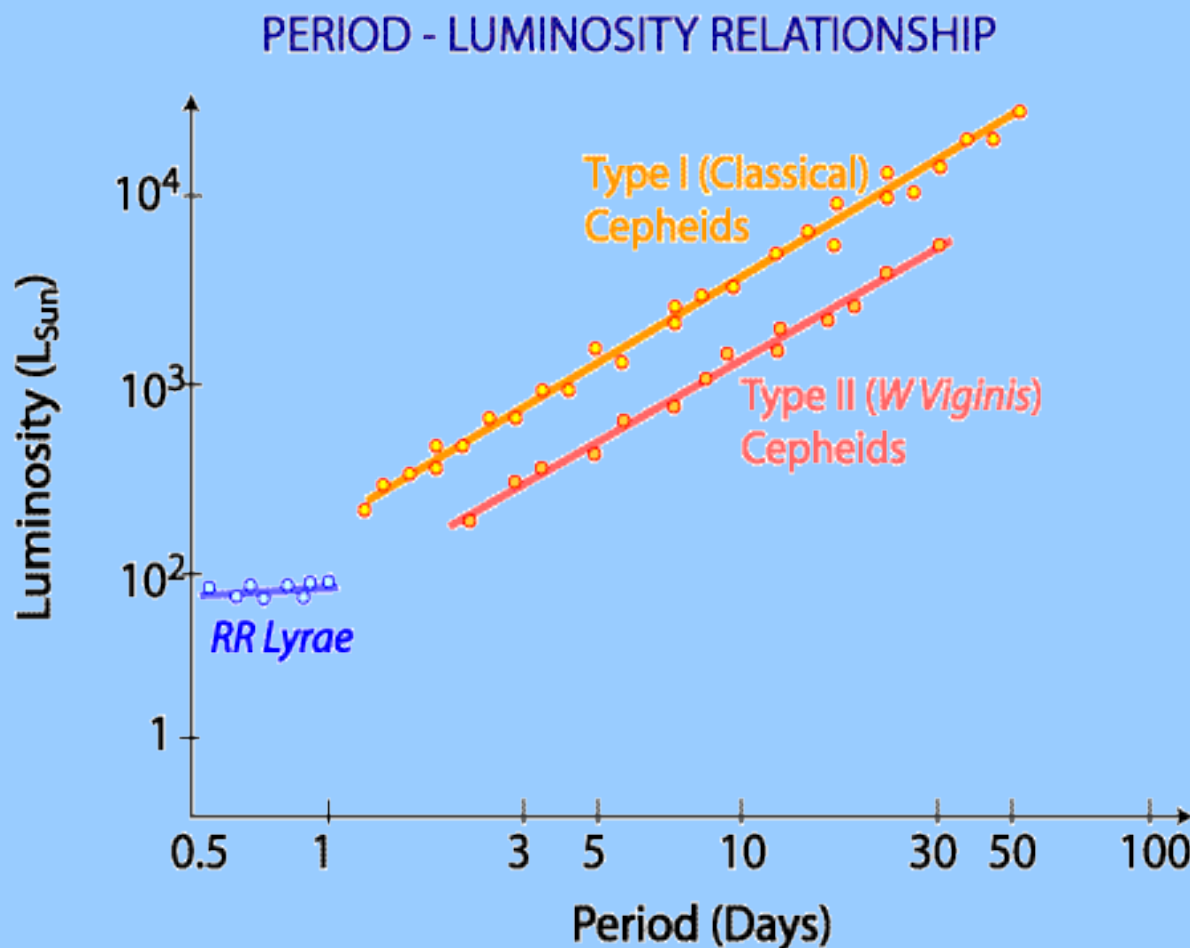
Estrellas RR-Lyrae: rama horizontal
miembros de poblaciones viejas
amplitudes 0.5 mag, periodos 0.5 dias

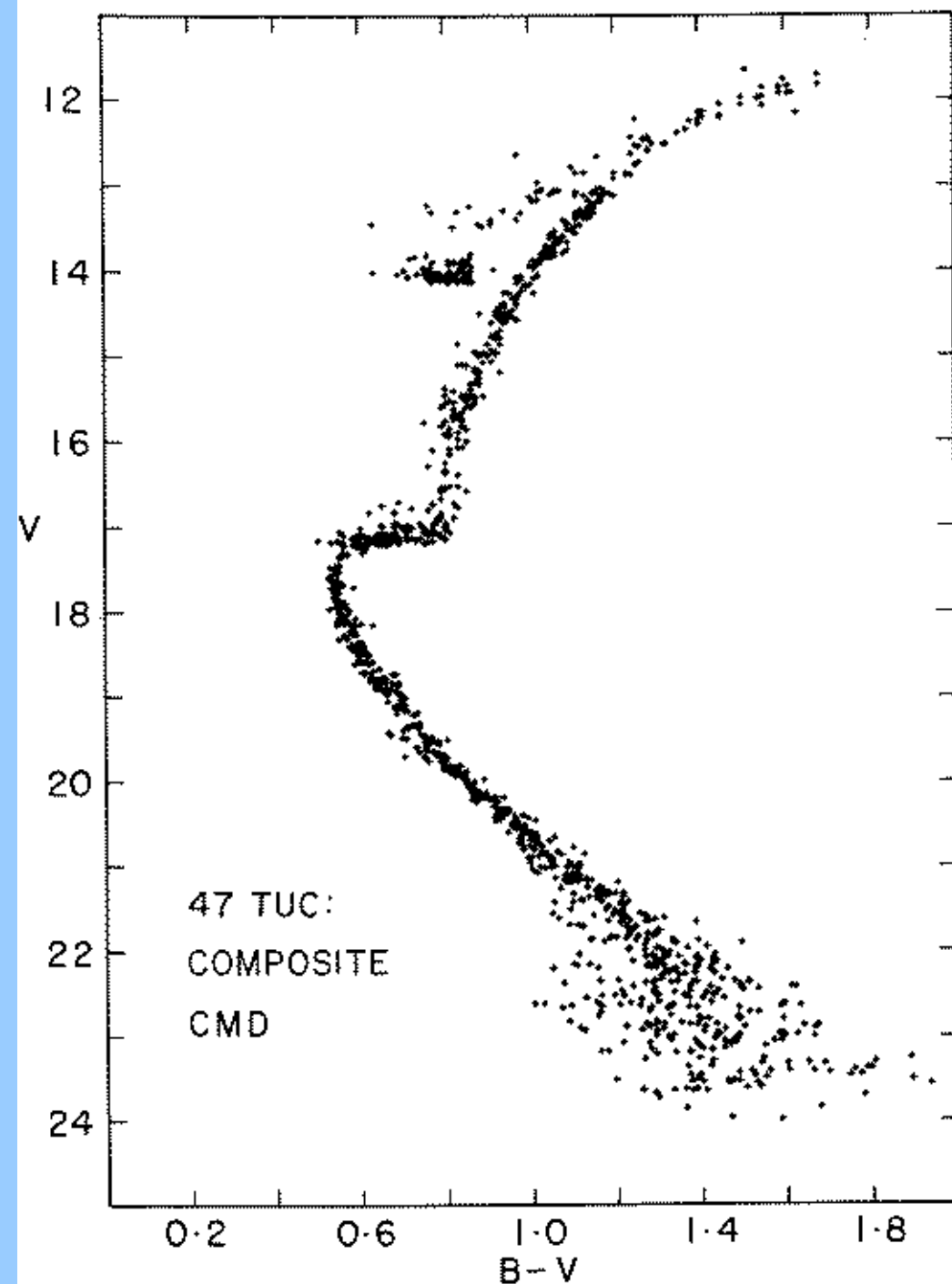


muchas RR Lyraes
en cumulos
globulares

Comparación de las relaciones PL entre Cefeidas, estrellas W Virginis y RR Lyraes

RR-Lyraes: luminosidades casi constantes mas compactas que Cefeidas ---> períodos mas cortos





47 Tucanae

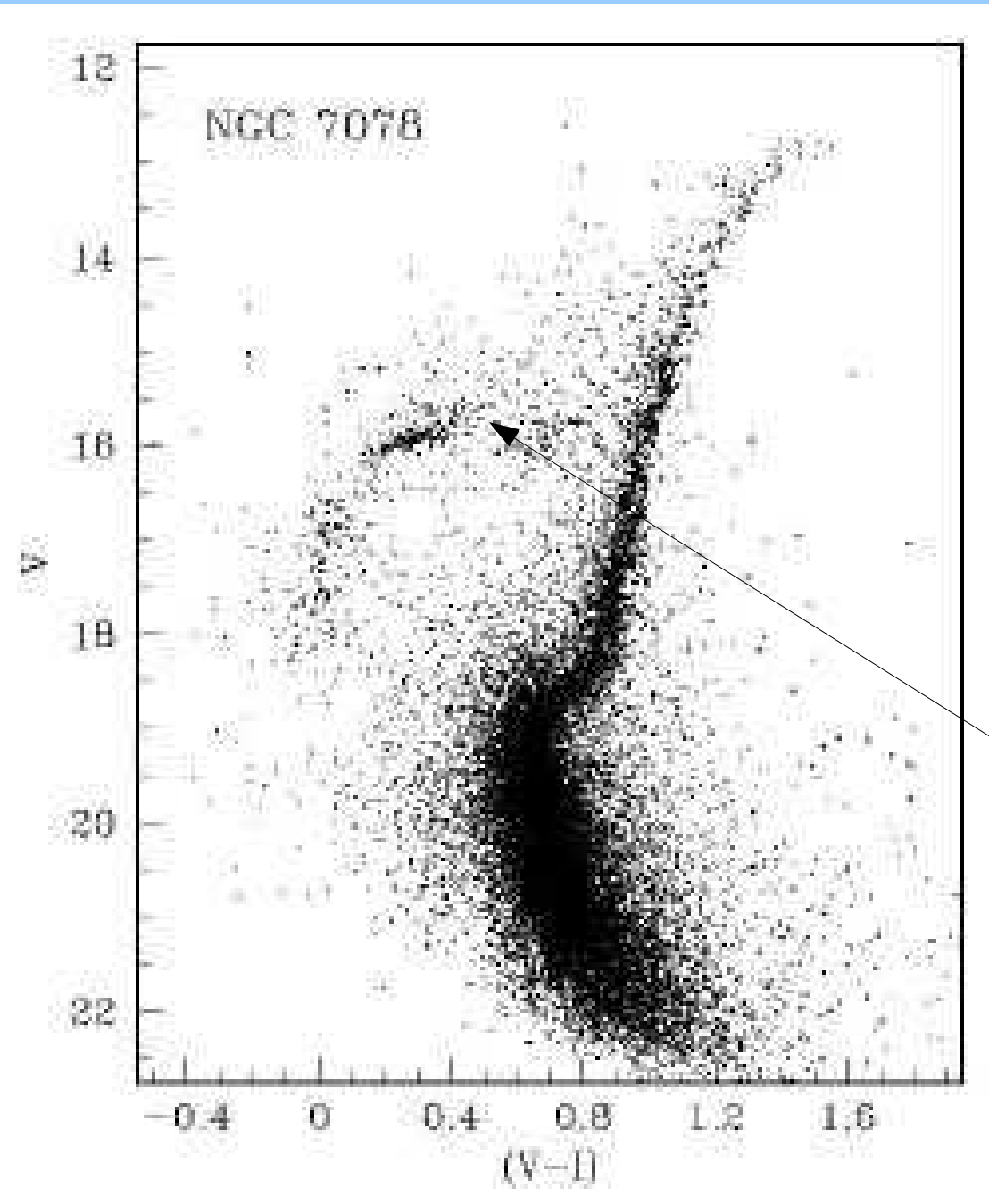
ningunas RR Lyrae's

rama horizontal no alcanza
la franja de inestabilidad

$[Fe/H] \sim -0.6$

demasiado rico en metales

NGC 7078



6.4 El metodo de " Baade-Wesselink" para derivar distancias a estrellas pulsandos

principio: determinacion de radios estelares

R_max, R_min sean los radios mas pequeñas durante la oscilacion y t_max, t_min los tiempos correspondientes en este caso:

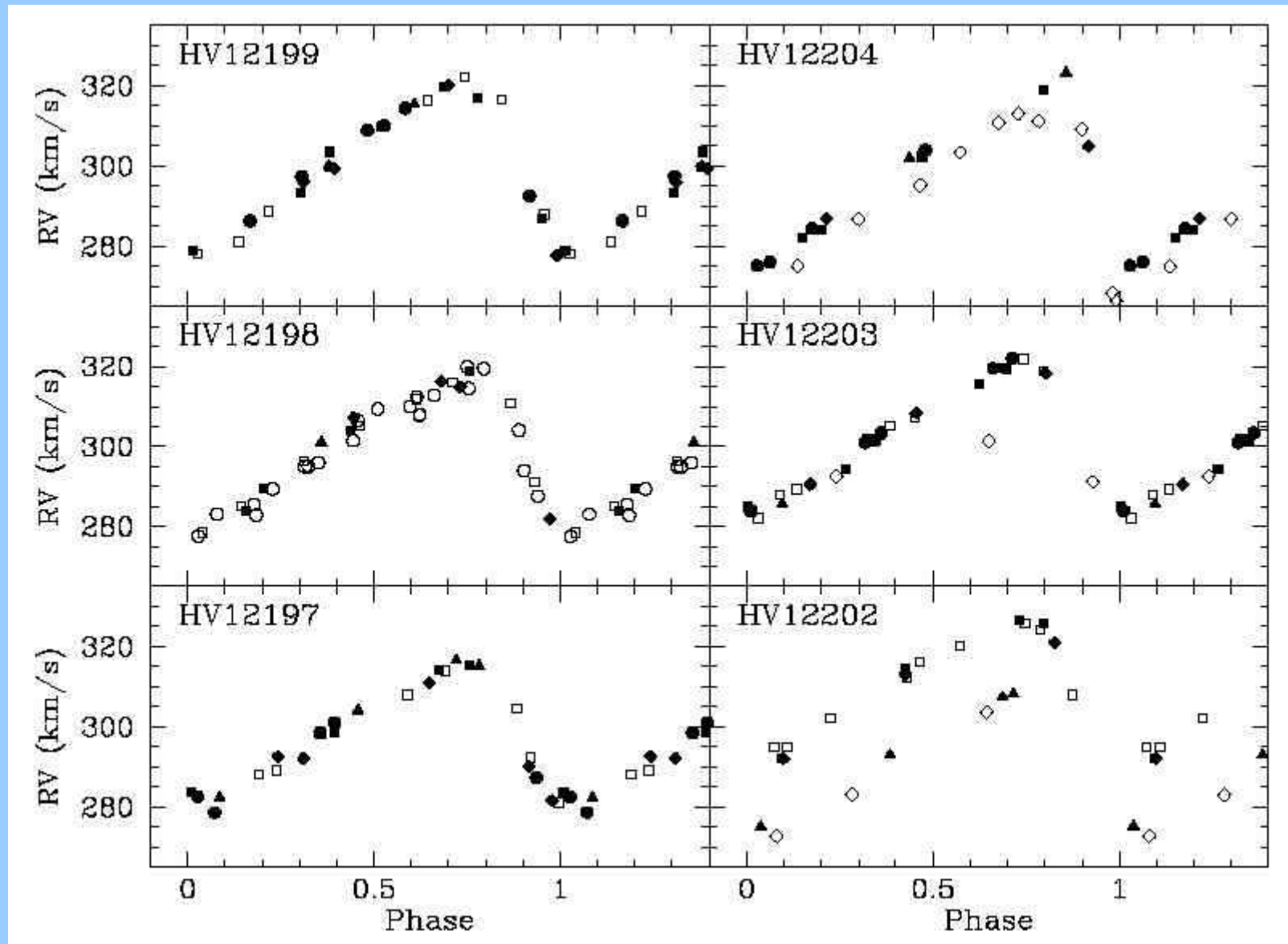
$$R_{max} - R_{min} = \int_{tmin}^{tmax} v_r(t) dt \quad \rightarrow \text{medible}$$

por otro lado:

$$\frac{L(t_{max})}{L(t_{min})} = \frac{R_{max}^2 T_{eff\ max}^4}{R_{min}^2 T_{eff\ min}^4}$$

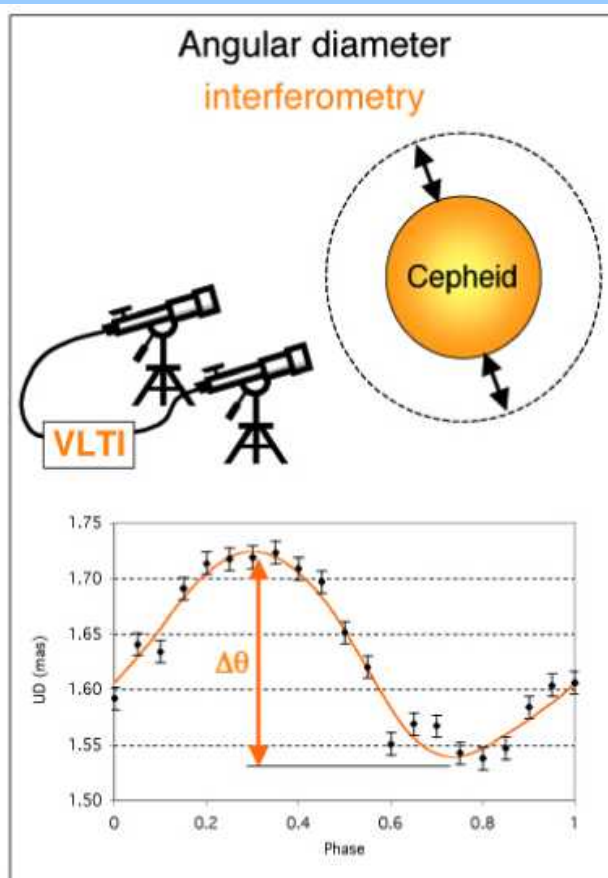
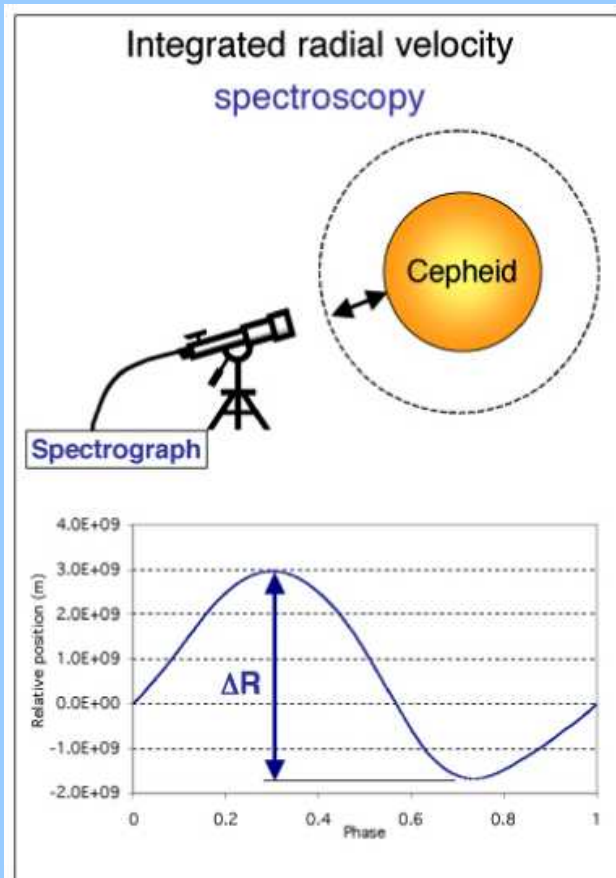
---> dos ecuaciones para R_max,R_min

Curvas de velocidades radiales de Cefeidas en la nube grande de Magellan



pero tambien $L(t_{\max}), L(t_{\min})$ por Stefan-Boltzmann

---> magnitud absoluta y distancia por $m-M = 5 \log r - 5$

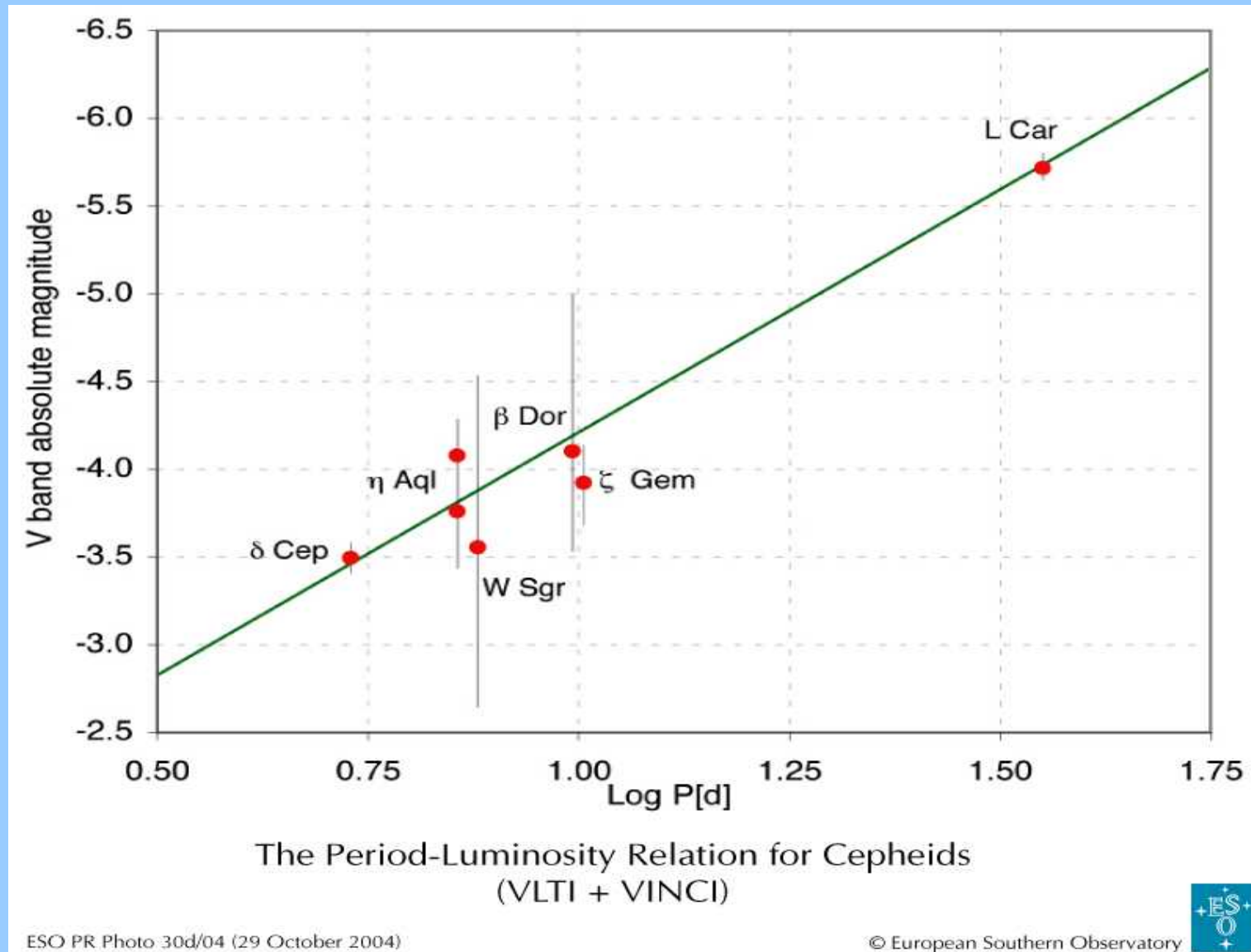


$$d [\text{pc}] = 9.305 \Delta R [R_\odot] / \Delta\theta [\text{mas}]$$

The Baade-Wesselink Method

hoy dia:
medida de radio
angular

Calibracion de la relacion P-L muy precisa



La escalera de distancias

